

УДК 621.317.4:389

Вимірювання осьового магнітного моменту квадрупольного

Б. В. Дегтярьов

Харківський державний технічний університет радіоелектроніки

Надійшла до редакції 13.12.99

На основі мультипольної моделі зовнішнього магнітного поля розроблено метод вимірювання осьового квадрупольного моменту. Метод заснований на використанні чотирьох контрольних точок навколо зовнішнього простору. Досягнуто значне зниження впливу завадонесучих мультиполів вищих порядків.

Точність функціонування магнітних систем орієнтації супутників в цілому визначає його динаміку [1]. Створення необхідних компенсуючих моментів потребує проведення прецизійних вимірювань дипольного моменту супутника. Мультипольний аналіз зовнішнього магнітного поля виявив, що на точність вимірювання дипольних моментів джерела впливають недипольні складові магнітного потенціалу, і в першу чергу — квадрупольна складова, компоненти напруженості якої пропорційні квадрупольним магнітним моментам.

Розглянемо метод вимірювання осьового квадрупольного моменту, напрямок якого сходиться з напрямком поздовжньої осі супутника, яка відстежує в кожний момент часу в поточній точці орбіти напрямок вектора напруженості геомагнітного поля. Метод орієнтовано на використання пасивних первинних перетворювачів (датчиків), і він може бути використаний для вимірювання квадрупольного моменту супутника в цілому та його магнітних елементів і замкнених струмових систем зокрема.

Скалярний магнітний потенціал, що створюється осьовим квадрупольним магнітним моментом, тобто мультиполем нульового порядку квадрупольної постійної складової ЗМП в сферичній системі координат дорівнює [2]

$$U_{20} = \frac{1}{16\pi R^3} g_{20}(1 + 3\cos 2\theta),$$

© В. В. ДЕГТЬЯРОВ, 2000

де $g_{20} = M_{20}$ — коефіцієнт, що дорівнює осьовому квадрупольному магнітному моменту джерела ЗМП.

За вимірюваним значенням осьового квадрупольного моменту g_{20} можна досить легко визначити компоненти напруженості мультипола нульового порядку ($m = 0$) квадрупольної складової магнітного поля в довільній точці зовнішнього простору:

$$\begin{aligned} H_{R_{20}} &= -\frac{\partial U_{20}}{\partial R} = \frac{3}{16\pi R^4} g_{20}(1 + 3\cos 2\theta), \\ H_{\varphi_{20}} &= \frac{1}{R \sin \theta} \frac{\partial U_{20}}{\partial \varphi} = 0, \\ H_{\theta_{20}} &= -\frac{1}{R} \frac{\partial U_{20}}{\partial \theta} = \frac{3}{8\pi R^4} g_{20} \sin 2\theta. \end{aligned} \quad (1)$$

Вимірювання осьового квадрупольного магнітного моменту базується на мультипольній моделі ЗМП джерела, що аналітично описується сферичним гармонічним рядом [2]. Згідно з нею магнітне поле джерела в області зовнішнього простору подається у вигляді спектру мультиполів просторових гармонік дипольної, квадрупольної, октупольної та інших складових ЗМП.

Пропонується чотириточковий метод вимірювання осьового квадрупольного моменту і магнітоворівневальний пристрій, що його реалізує. Схему розміщення датчиків пристрою навколо вимірю-

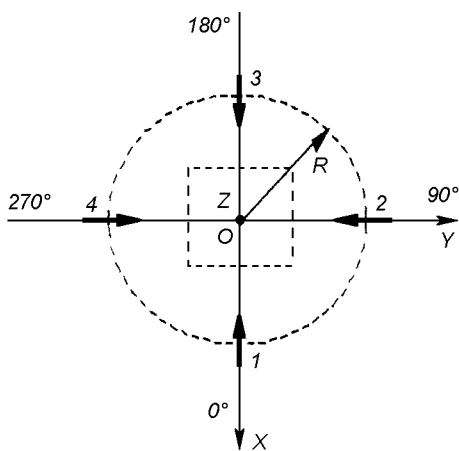


Рис. 1. Схема розміщення датчиків навколо вимірюваного джерела ЗМП. Початок системи координат X , Y , Z суміщено з геометричним центром магнітометричного пристрою і пов'язано з джерелом; стрілками позначені початок і кінець обмоток катушок індукційних датчиків

ваного джерела магнітного поля умовно зображенено на рис. 1. Однокомпонентні магніточутливі датчики 1—4 розташовані в екваторіальній площині ($\theta = 90^\circ$) навколо джерела ЗМП в точках з координатами: 1 ($R, \varphi = 0^\circ, \theta = 90^\circ$), 2 ($R, \varphi = 90^\circ, \theta = 90^\circ$), 3 ($R, \varphi = 180^\circ, \theta = 90^\circ$), 4 ($R, \varphi = 270^\circ, \theta = 90^\circ$).

Відносно вимірюваного квадрупольного поля, яке пропорційне g_{20} , катушки чотирьох датчиків з'єднані електрично послідовно узгоджено. Тому корисні електричні сигнали, які наведені в цих катушках мультиполем нульового порядку квадрупольної складової вимірюваного магнітного поля, додаються. Відносно магнітного поля зовнішньої нестационарної електромагнітної завади катушки датчиків 1 і 3 та 2 і 4 увімкнені зустрічно, внаслідок чого електричні сигнали, наведені в них завадонесучим магнітним полем зовнішніх джерел, віднімаються, і вимірювальний канал пристрою стає захищеним від зовнішньої електромагнітної завади.

Магнітні осі катушок датчиків 1—4 розташовані радіально, тому на них впливає тільки радіальна складова напруженості ЗМП джерела, що математично подається сферичним гармонічним рядом у вигляді суми мультиполів просторових гармонік n -го порядку [2]

$$H_R = \frac{1}{4\pi} \sum_{n=1}^{\infty} \frac{n+1}{R^{n+2}} \sum_{m=0}^n (g_{nm} \cos m\varphi + h_{nm} \sin m\varphi) P_n^m(\cos \theta). \quad (2)$$

Тут R, φ, θ — сферичні координати; g_{nm}, h_{nm} —

постійні коефіцієнти, що дорівнюють мультипольним магнітним моментам m -го порядку просторової гармоніки n -го порядку; $P_n^m(\cos \theta)$ — приєднані поліноми Лежандра; n — порядковий номер просторової гармоніки; m — порядковий номер мультиполю гармоніки n -го порядку.

Радіальна складова напруженості магнітного поля гармоніки порядку n зі збільшенням відстані R від початку координат зменшується тим скоріше, що більший номер просторової гармоніки. Тому для аналізу чотириточкового методу вимірювання осьового квадрупольного магнітного моменту просторової гармоніки ЗМП другого порядку достатньо обмежити сферичний гармонічний ряд (2) членами до $n = 3$:

$$\begin{aligned} H_R = & \frac{1}{2\pi R^3} [g_{10} \cos \theta + (g_{11} \cos \varphi + h_{11} \sin \varphi) \sin \theta] + \\ & + \frac{3}{8\pi R^4} \left[\frac{1}{2} g_{20} (1 + 3 \cos 2\theta) + \right. \\ & + 3(g_{21} \cos \varphi + h_{21} \sin \varphi) \sin 2\theta + \\ & \left. + 3(g_{22} \cos 2\varphi + h_{22} \sin 2\varphi) (1 - \cos 2\theta) \right] + \\ & + \frac{1}{4\pi R^5} \left[\frac{1}{2} g_{30} (3 \cos \theta + 5 \cos 3\theta) + \right. \\ & + \frac{3}{2} (g_{31} \cos \varphi + h_{31} \sin \varphi) (\sin \theta + 5 \sin 3\theta) + \\ & + 15(g_{32} \cos 2\varphi + h_{32} \sin 2\varphi) (\cos \theta - \cos 3\theta) + \\ & \left. + 15(g_{33} \cos 3\varphi + h_{33} \sin 3\varphi) (3 \sin \theta - \sin 3\theta) \right]. \quad (3) \end{aligned}$$

Радіальні компоненти H_i напруженості ЗМП, що діють на магнітні осі катушок, дорівнюють:

— для катушки 1x датчика 1

$$\begin{aligned} H_1 = & \frac{1}{2\pi R^3} g_{11} + \frac{3}{4\pi R^4} \left(-\frac{1}{2} g_{20} + 3g_{22} \right) + \\ & + \frac{3}{\pi R^5} \left(-\frac{1}{2} g_{31} + 5g_{33} \right) \end{aligned} \quad (4)$$

— для катушки 2y датчика 2

$$\begin{aligned} H_2 = & \frac{1}{2\pi R^3} h_{11} + \frac{3}{4\pi R^4} \left(-\frac{1}{2} g_{20} - 3g_{22} \right) + \\ & + \frac{3}{\pi R^5} \left(-\frac{1}{2} h_{31} - 5h_{33} \right) \end{aligned} \quad (5)$$

— для катушки 3x датчика 3

$$H_3 = -\frac{1}{2\pi R^3} g_{11} + \frac{3}{4\pi R^4} \left(-\frac{1}{2} g_{20} + 3g_{22} \right) +$$

$$+ \frac{3}{\pi R^5} \left(\frac{1}{2} g_{31} - 5g_{33} \right) \quad (6)$$

— для котушки 4у датчика 4

$$H_4 = - \frac{1}{2\pi R^3} h_{11} + \frac{3}{4\pi R^4} \left(-\frac{1}{2} g_{20} - 3g_{22} \right) + \\ + \frac{3}{\pi R^5} \left(\frac{1}{2} h_{31} + 5h_{33} \right). \quad (7)$$

Розв'язок системи з чотирьох рівнянь (5)–(7) відносно мультиполя нульового порядку ($m = 0$) квадрупольної складової магнітного поля ($n = 2$) дає:

$$\sum_{i=1}^4 H_i = - \frac{1}{4\pi R^4} \cdot 6g_{20}. \quad (8)$$

Електричний сигнал, що збуджується в котушках датчиків 1–4 вимірюванням магнітним полем, дорівнює:

$$E_{20} = \frac{1}{k_f} \sum_{i=1}^4 H_i = - \frac{1}{k_f} \frac{6g_{20}}{R^4} = - E_{20}^{(2)}, \quad (9)$$

де k_f , мЕ/мВ — постійна датчика до напруженості магнітного поля; $E_{20}^{(2)}$ — корисний сигнал, пропорційний g_{20} . За виміряним електричним сигналом $E_{20}^{(2)}$ (9) визначається величина осьового квадрупольного магнітного моменту:

$$g_{20} = M_{20} = \frac{1}{6} E_{20} k_f R^4,$$

і, в кінцевому рахунку, компоненти напруженості магнітного поля в довільній точці зовнішнього простору (1), що створюються мультиполем нульового порядку квадрупольної складової ЗМП.

Чутливість вимірювального каналу пристрою до напруженості магнітного поля, згідно з (9) дорівнює $S_{20} = 6/k_f$. З виразу (9) видно, що в результативному сигналі E_{20} відсутні завади, що обумовлені мультиполем просторових гармонік непарного порядку. Тому на точність вимірювання осьового квадрупольного магнітного моменту впливають тільки мультиполем просторових гармонік вищих парних порядків вимірюваного ЗМП, і насамперед четвертого і шостого, які є завадами і спричиняють мультипольну складову методичної похибки.

Електричний сигнал завади, що створюється гармонікою ЗМП четвертого порядку, визначається таким чином:

$$E_{20}^{(4)} = \frac{1}{k_f} \sum_{i=1}^4 H_i^{(4)}, \quad (10)$$

де $H_i^{(4)}$ — радіальна складова напруженості магнітного поля завадонесучої просторової гармоніки по-

рядку $n = 4$, яка згідно з (2) в екваторіальній площині описується аналітичним виразом

$$H_{\theta=90^\circ}^{(4)} = \frac{15}{4\pi R^6} \left[\frac{1}{8} g_{40} - \frac{5}{2} (g_{42}\cos 2\varphi + h_{42}\sin 2\varphi) + \right. \\ \left. + 35(g_{44}\cos 4\varphi + h_{44}\sin 4\varphi) \right]. \quad (11)$$

Підставляючи значення радіальної складової напруженості магнітного поля (11) з урахуванням координат точок розміщення датчиків в (10), отримаємо електричний сигнал завад від гармонік четвертого порядку:

$$E_{20}^{(4)} = \frac{60}{k_f R^6} \left(\frac{1}{8} g_{40} + 35g_{44} \right).$$

Радіальна складова напруженості магнітного поля гармоніки шостого порядку:

$$H_{\theta=90^\circ}^{(6)} = \frac{35}{4\pi R^8} \left[-\frac{1}{16} g_{60} + \frac{21}{8} (g_{62}\cos 2\varphi + h_{62}\sin 2\varphi) - \right. \\ \left. - \frac{189}{2} (g_{64}\cos 4\varphi + h_{64}\sin 4\varphi) + \right. \\ \left. + 2079(g_{66}\cos 6\varphi + h_{66}\sin 6\varphi) \right]$$

наводить в котушках вимірювального каналу пристрою електричний сигнал завади, який визначається виразом

$$E_{20}^{(6)} = - \frac{70}{k_f R^8} \left(\frac{1}{8} g_{60} + 189g_{64} \right).$$

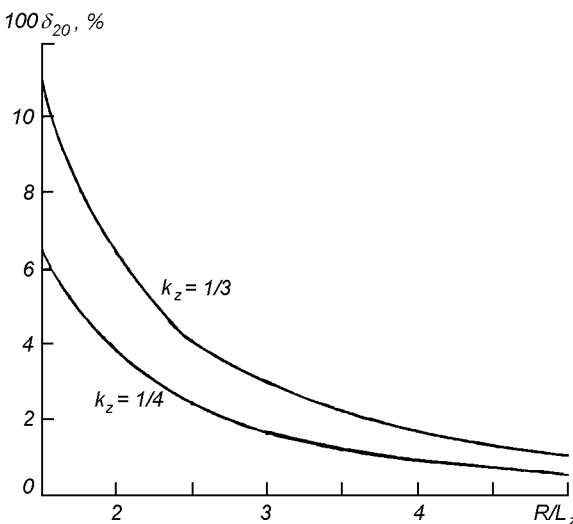
Мультипольна складова методичної похибки вимірювання осьового квадрупольного магнітного моменту через наявність у вимірюваному результуючому електричному сигналі E_{20} сигналів завад $E_{20}^{(4)}$, $E_{20}^{(6)}$ буде дорівнювати

$$\delta_{20}^{(4)} = \frac{E_{20}^{(4)}}{E_{20}^{(2)}} = - \frac{5}{4} \frac{g_{40} + 280g_{44}}{R^2 g_{20}}, \\ \delta_{20}^{(6)} = \frac{E_{20}^{(6)}}{E_{20}^{(2)}} = \frac{35}{24} \frac{g_{60} + 1512g_{64}}{R^4 g_{20}}. \quad (12)$$

Оцінимо ці похибки для зразкового осьового квадрупольного магнітного моменту для моделі диполя і антидиполя, які орієнтовані по осі Z і віддалені від початку координат на $\pm z_0$.

Для такого джерела магнітні моменти мультиполів просторових гармонік $n = 2, 4, 6$ будуть дорівнювати:

$$g_{20} = 4M_z z_0, \quad g_{40} = 8M_z z_0^3, \quad g_{44} = 0, \\ g_{60} = 12M_z z_0^5, \quad g_{64} = 0.$$

Рис. 2. Графічні залежності δ_{20} від R/L_z

Підставимо ці значення в (12) і отримаємо мультипольну похибку від завадонесучих гармонік порядку $n = 4, 6$:

$$\delta_{20}^{(4)} = -\frac{5}{2} \left(\frac{k_z}{R/L_z} \right)^2,$$

$$\delta_{20}^{(6)} = \frac{35}{8} \left(\frac{k_z}{R/L_z} \right)^4,$$

де $k_z = z_0/L_z \leq 1/2$, L_z — габаритний розмір джерела ЗМП на координатному напрямку Z .

Результатує мультипольна складова методичної похибки магнітного моменту дорівнює

$$\delta_{20} = \delta_{20}^{(4)} + \delta_{20}^{(6)} = \frac{5}{2} \left(\frac{k_z}{R/L_z} \right)^2 \left[-1 + \frac{7}{4} \left(\frac{k_z}{R/L_z} \right)^2 \right].$$

На рис. 2 зображені графічні залежності δ_{20} від R/L_z для $k_z = 1/3, 1/4$. На відстані $2.5L_z$ похибка δ_{20} при $k_z \leq 1/3$ не перевищує 4 %.

ВИСНОВКИ

1. Розроблено чотириточковий метод вимірювання осьового квадрупольного магнітного моменту різноманітних джерел ЗМП, що дозволяє визначити рівень напруженості квадрупольного поля в зонах зовнішнього простору;

2. Досягнуто суттєве підвищення точності вимірювання шляхом зниження впливу завадонесучих мультиполів непарного порядку вимірюваного ЗМП;

3. Визначено методичну мультипольну похибку, що дозволяє зробити оптимальний вибір контрольної відстані, на якій розміщаються первинні переворювачі.

1. Сарычев В. А., Овчинников М. Ю. Магнитные системы ориентации искусственных спутников Земли // Итоги науки и техники / ВИНИТИ. Исследование космического пространства.—1985.—23.—104 с.
2. Яновский Б. М. Земной магнетизм.—Л.: ЛГУ, 1978.—592 с.

THE MEASUREMENT OF THE AXIAL QUADRUPOLE MAGNETIC MOMENT

V. V. Degtyaryov

Using the multipole model of the external magnetic field, we developed a method for the measurement of the axial quadrupole moment. The method is based on the use of four control points in the ambient space. A large decrease of the influence of noise-bearing high-order multipoles was achieved.